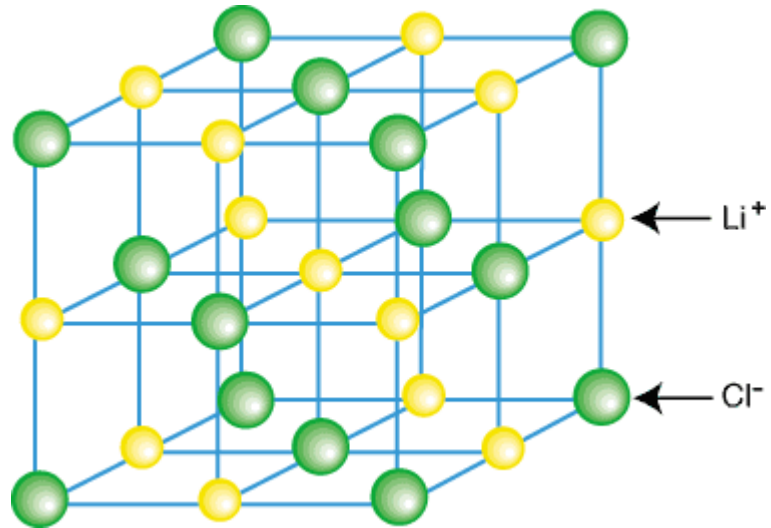




Características de Escala Libre en Redes
Aleatorias

Dolores Lara.
Octubre, 2005.

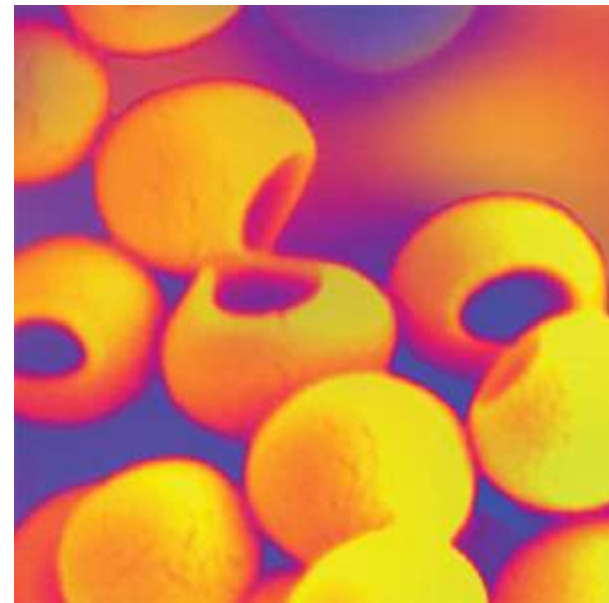
Introducción



elementos idénticos

+

interacciones locales



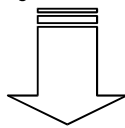
Introducción (cont)

Sistema Complejo

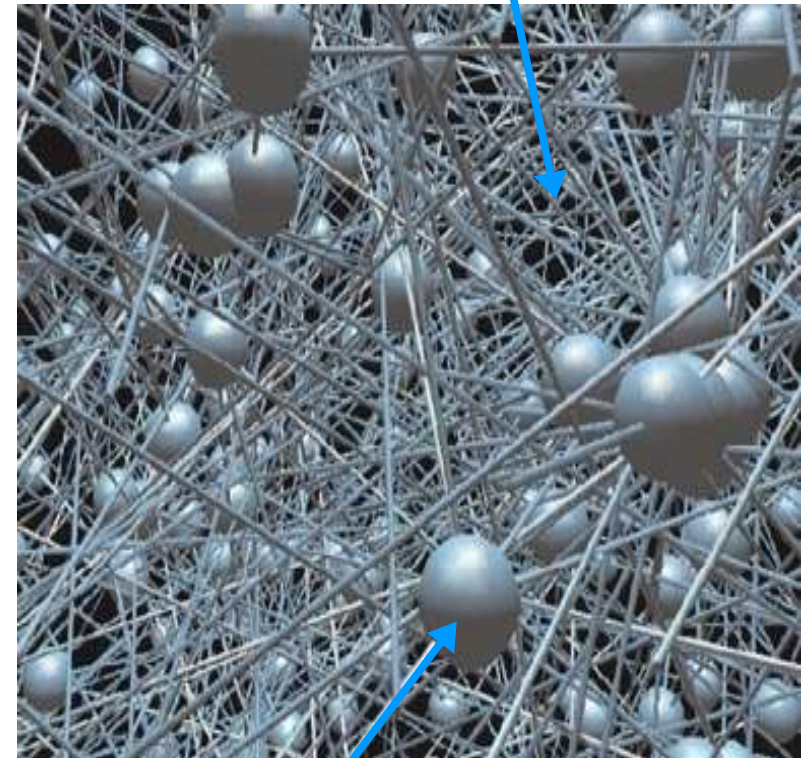
muchos elementos **no idénticos**

conectados por interacciones

diversas y no locales



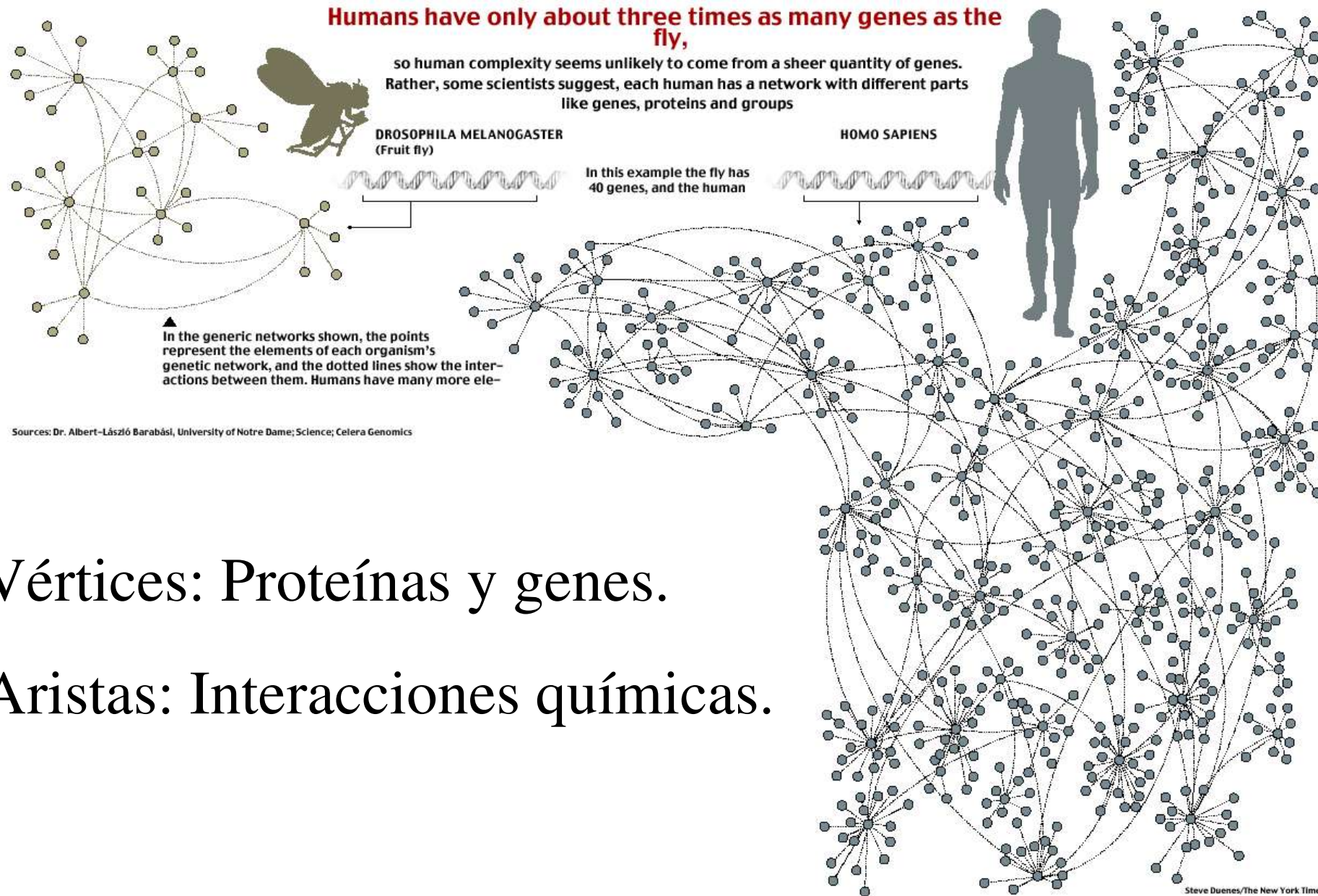
Redes Complejas



interacciones

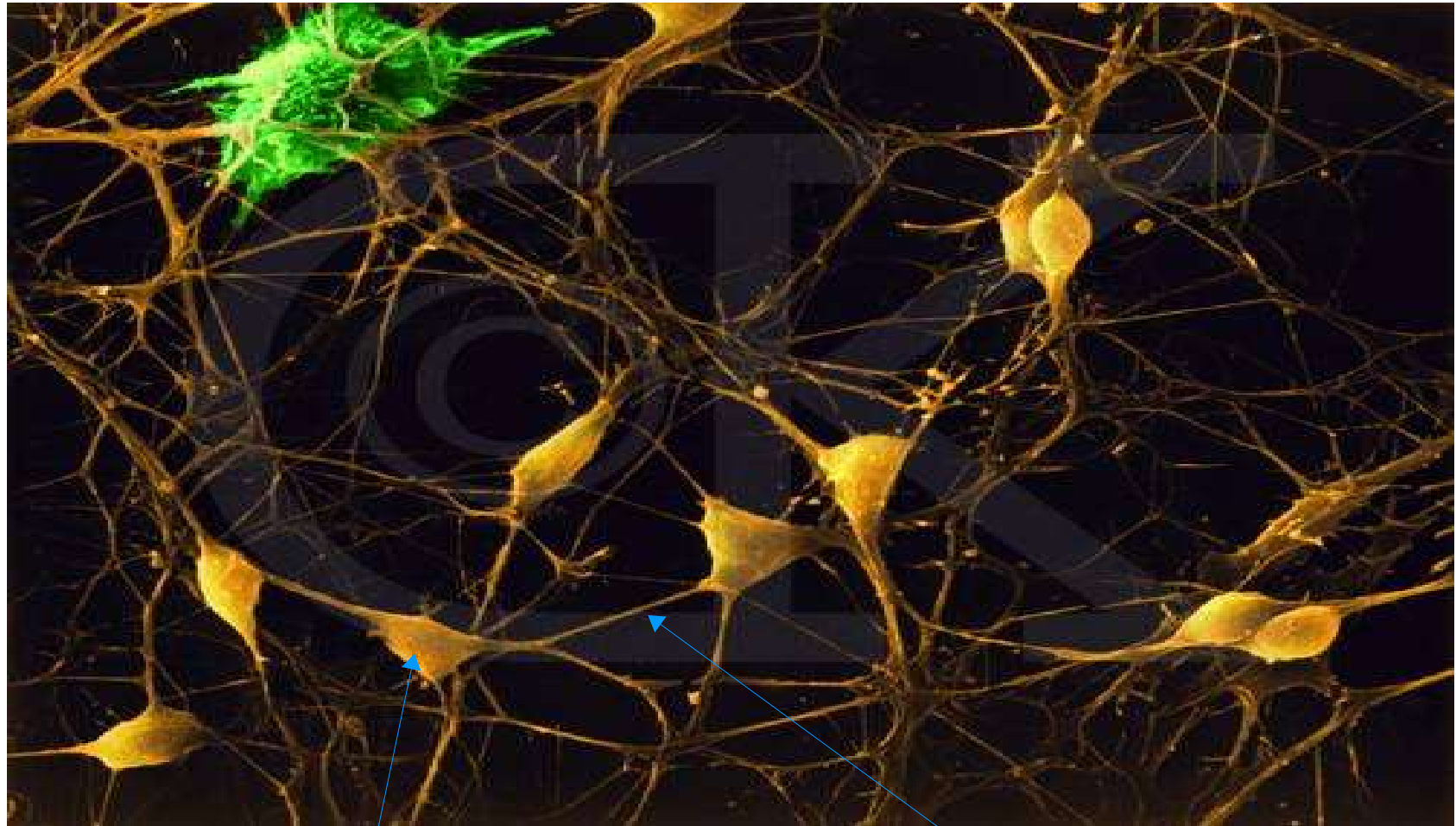
elementos

Red Genetica



- Vértices: Proteínas y genes.
- Aristas: Interacciones químicas.

Sistema Nervioso



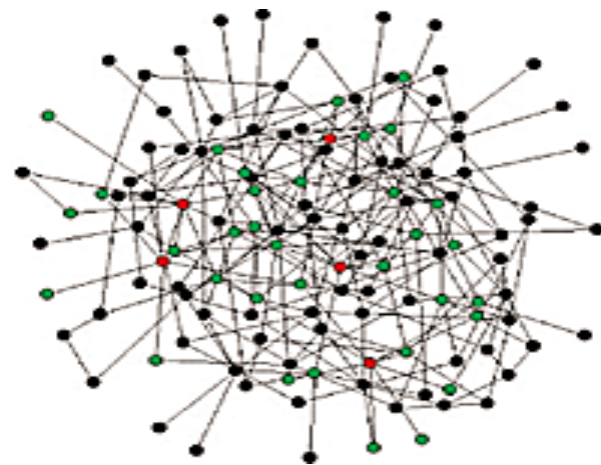
células nerviosas

axones

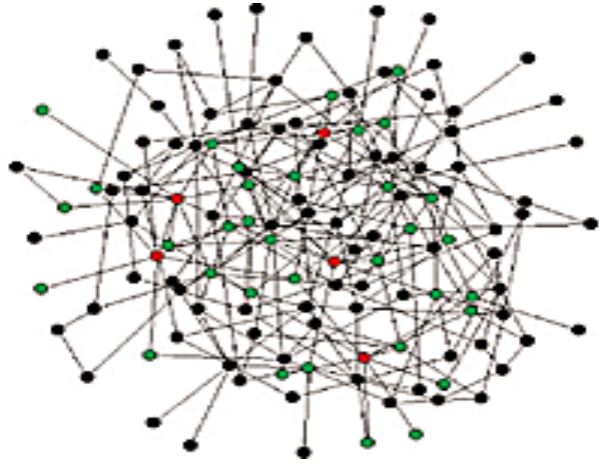
Gráficas Aleatorias

- Una gráfica aleatoria es una colección de puntos (vértices), con líneas (aristas), uniendo pares de ellos de manera aleatoria.

● Con mayor numero de aristas.
Conectados a 27% de toda la red.



Gráficas Aleatorias (cont)



Gráfica Aleatoria

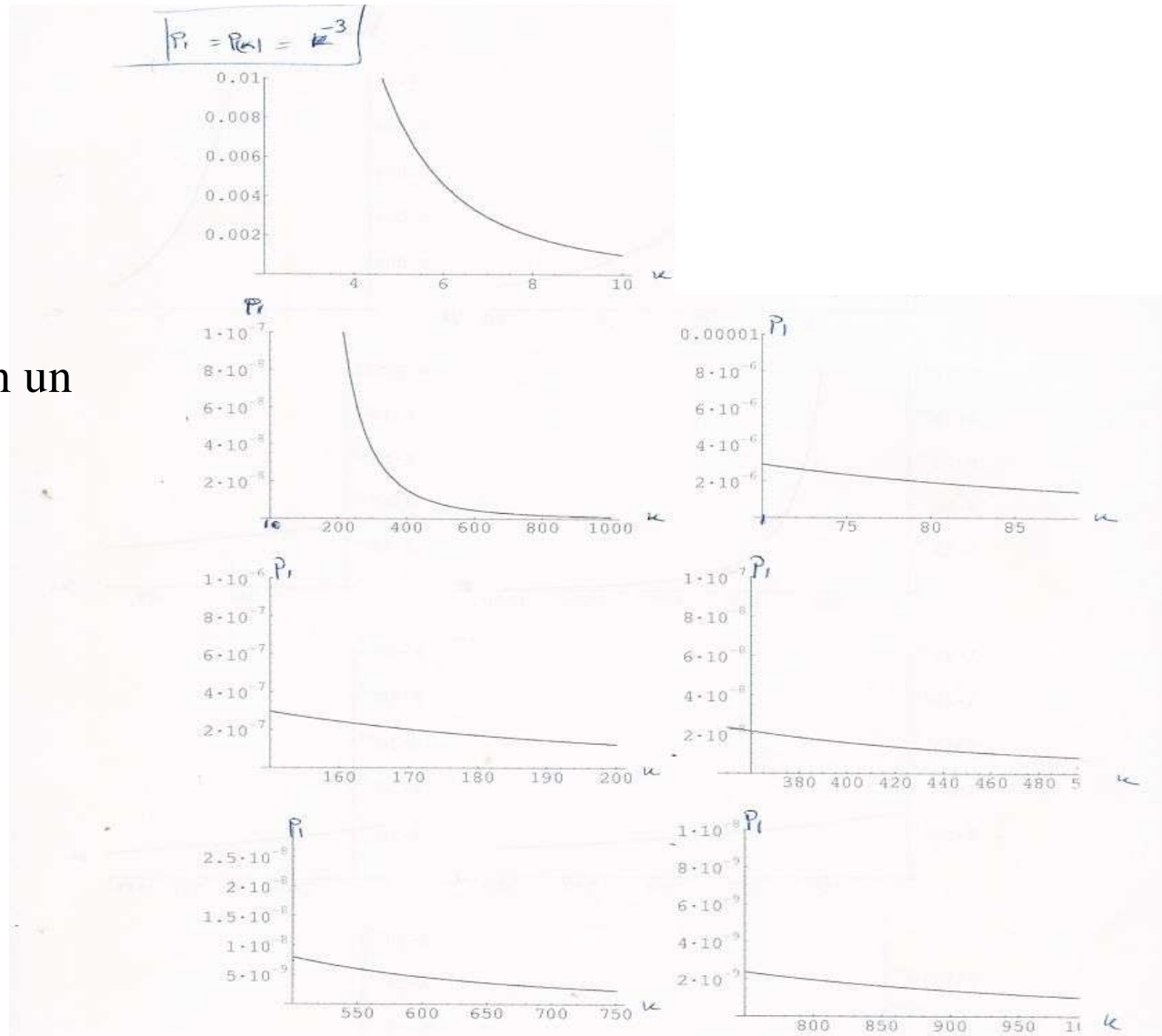
Teoría Erdős y Rényi



Información de redes reales

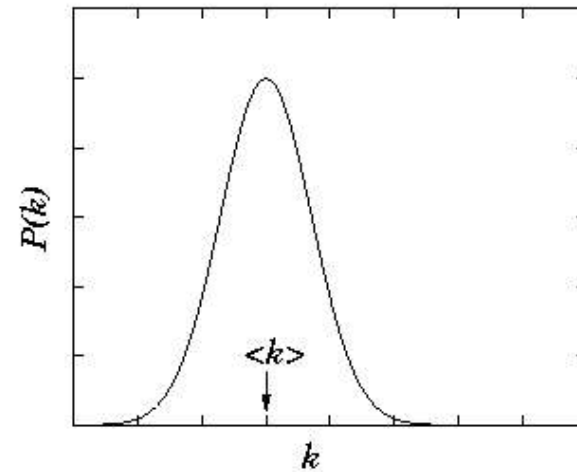
Ley de Potencia

- Barabási y Albert, 1999.
- Independiente del sistema
- $P(k) \sim k^{-\gamma}$
- Redes se auto-organizan en un estado de *escala libre*.



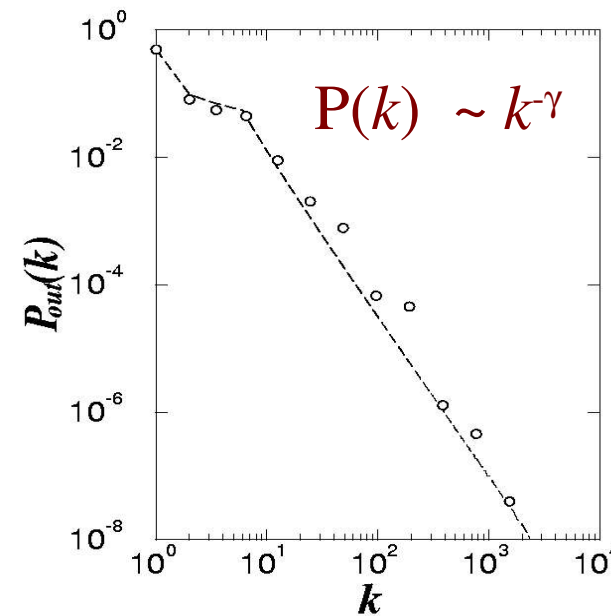
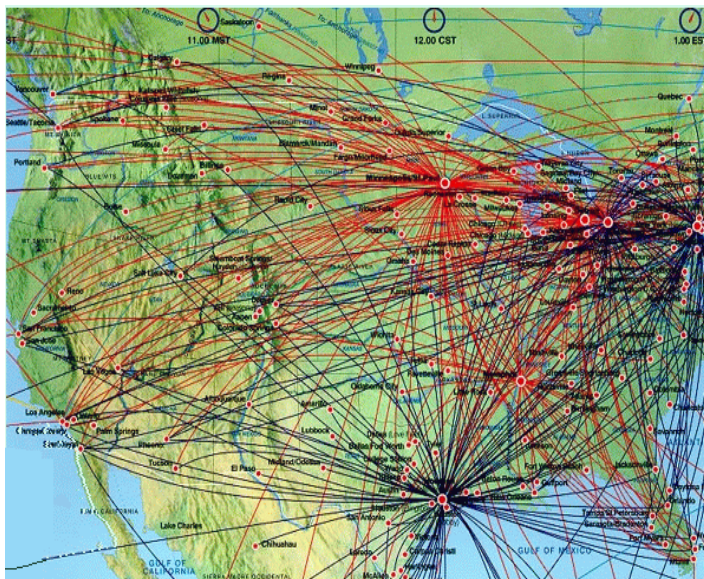
Red Exponencial vs Escala Libre

Red Exponencial



Esperado

Red de Escala Libre



Encontrado

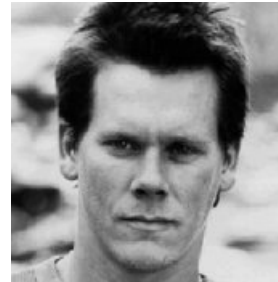
Experimento 1



Charles Chaplin



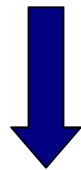
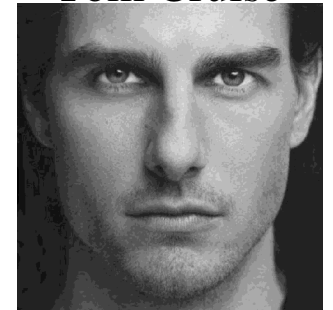
Kevin Bacon



A Few Good
Men →



Tom Cruise



Monsieur
Verdoux

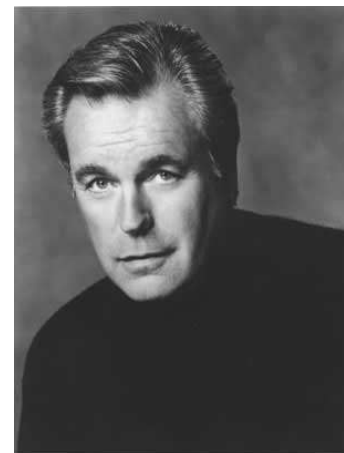
Barry Norton



What Price Glory



Wild Things

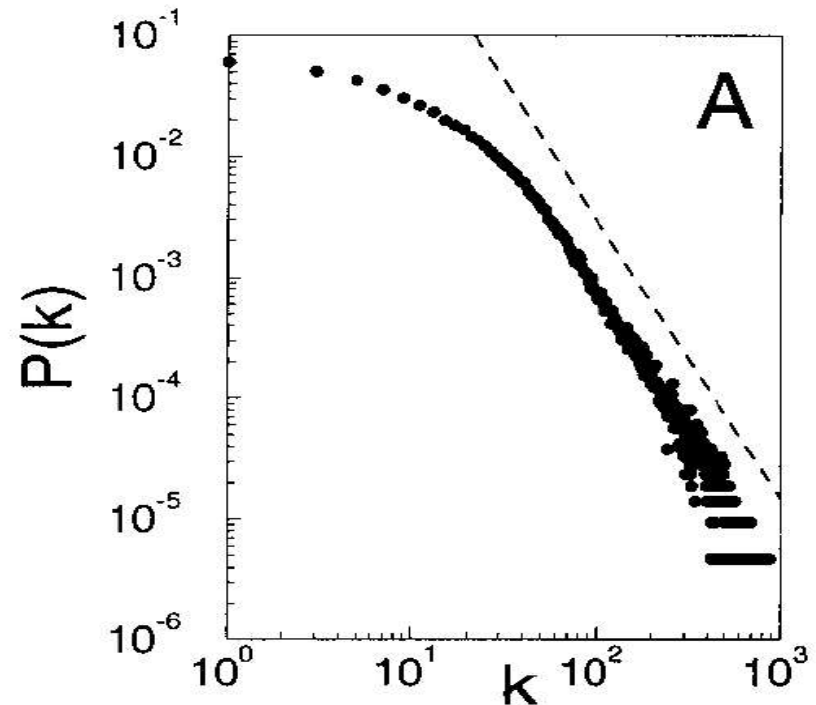


Robert Wagner

Red de colaboración de
actores.

Experimento 1 (cont.)

- Con $N=212,250$ vértices y una conectividad promedio $\langle k \rangle = 28.78$.
- $P(k) \sim k^{-\gamma_{actor}}$ con $\gamma_{actor} = 2.3 \pm 0.1$.



Experimento 2



Red electrica del
Occidente de EUA.



Vértices:

- Generadores.
- Transformadores.
- Subestaciones.

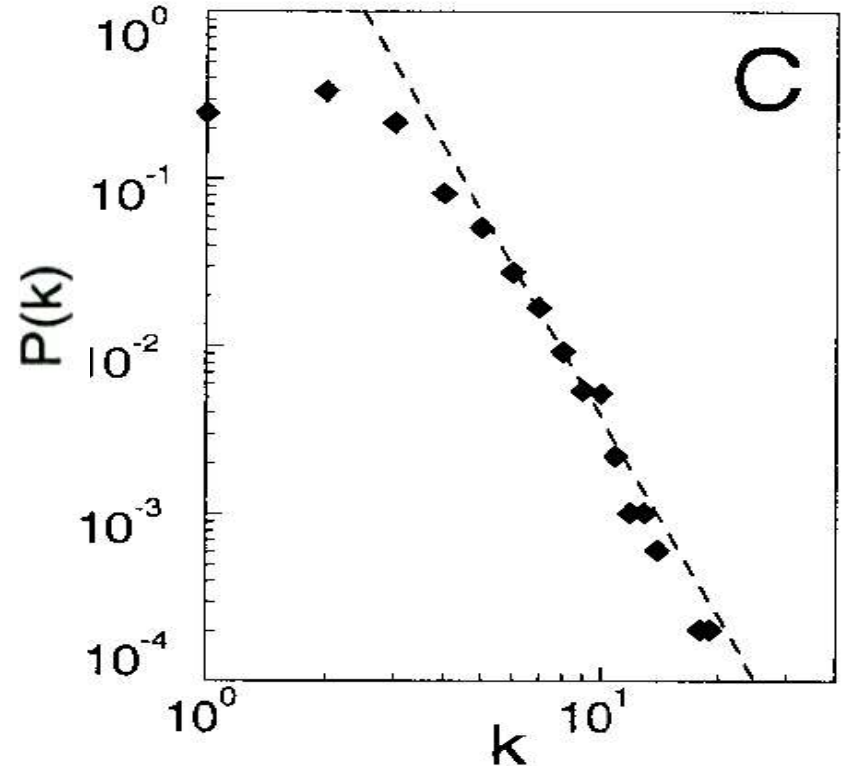


Aristas:

- Líneas de transmisión de alto voltaje.

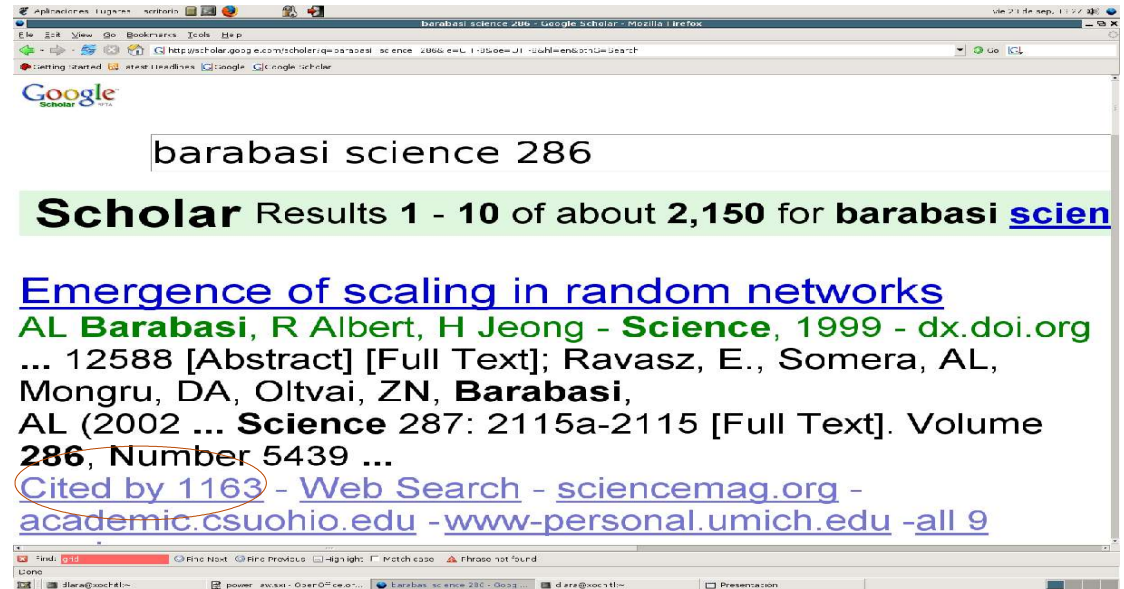
Experimento 2 (cont)

- Con $N=4941$ vértices y una conectividad promedio $\langle k \rangle = 2.67$.
- $P(k) \sim k^{-\gamma_{power}}$ con $\gamma_{power} \approx 4$.



Experimento 3

Red de referencias en publicaciones científicas.



Vértices:

- Artículos publicados en revistas.

Aristas:

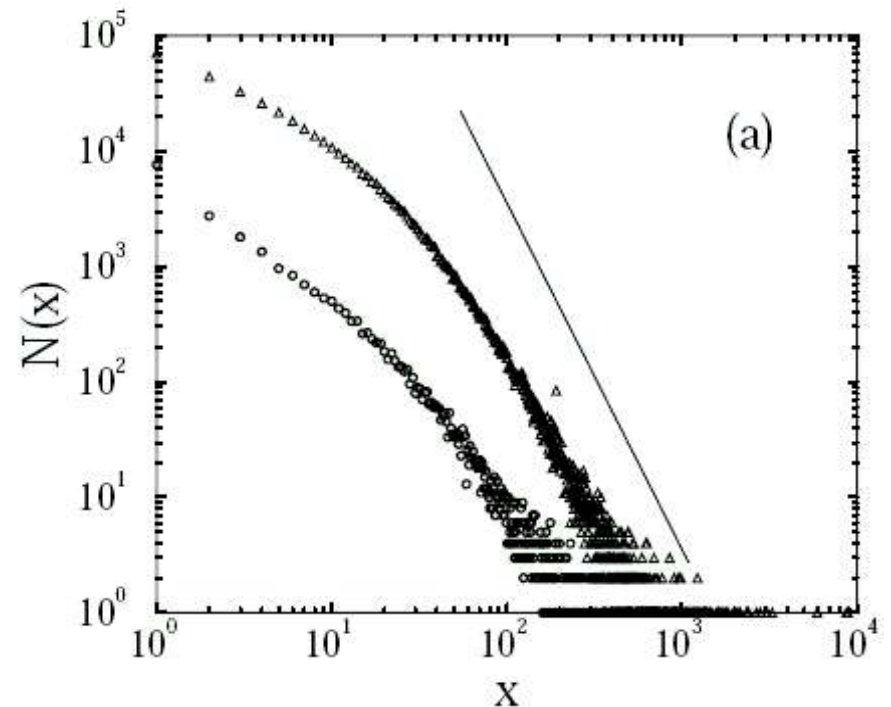
- Links a los artículos citados en algún otro.

Experimento 3 (cont)

- Fue demostrado por S. Redner (1998).
- $P(k) \sim k^{-\gamma_{cite}}$ con $\gamma_{cite} = 3$.
- Con

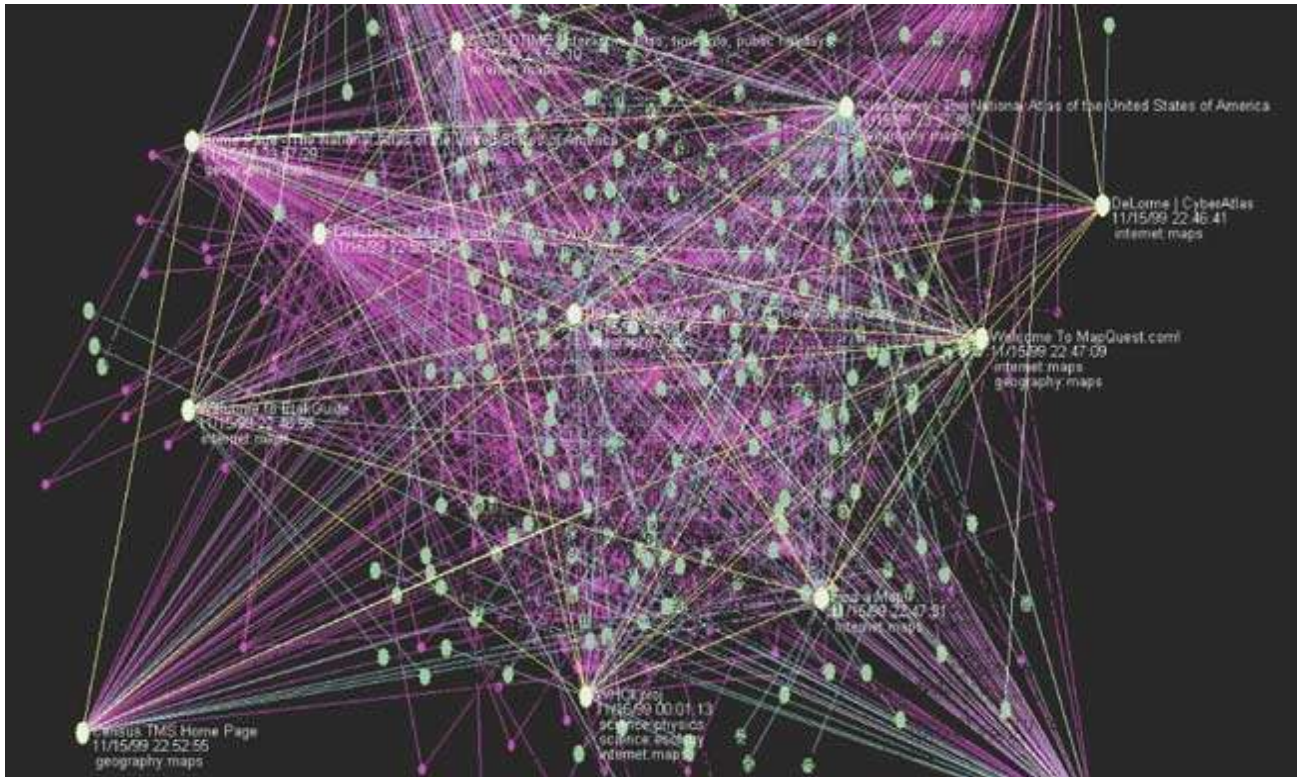
$N=783,339$ ISI.

$N=24,296$ PRD.



Experimento 4

World Wide Web.



- Gráfica dirigida.
- Medio menos controlado.
- Tamaño estimado en 1999, 8×10^8 documentos.
- ¿Qué importancia tiene estudiar su topología?

WWW

» [TEXT VERSION](#) [CALENDAR](#) | [DIRECTORIES](#) | [NEWS](#) | [ABOUT ND](#)

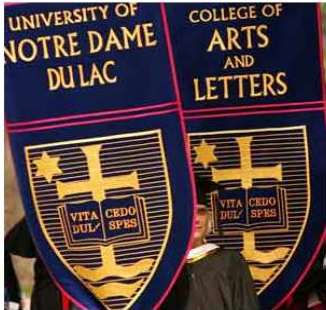
UNIVERSITY OF **NOTRE DAME**

RESOURCES FOR
PROSPECTIVE STUDENTS
CURRENT STUDENTS
FACULTY & STAFF
ALUMNI
PARENTS
VISITORS



[Annex or atelier, art is at its heart](#)

COLLEGES & SCHOOLS
LIBRARIES | ARCHIVES
RELIGIOUS LIFE
INTERNATIONAL
RESEARCH
TECHNOLOGY
OFFICES & DEPARTMENTS
ATHLETICS
PERFORMING & VISUAL ARTS
GIVING TO NOTRE DAME



Matt Cashore

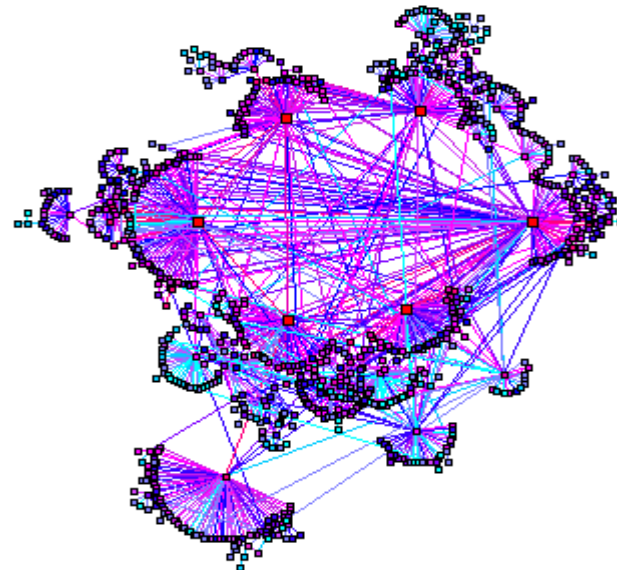
NOTRE DAME HEADLINES
Father Jenkins recalls past in charting course for future
[Full Story & More News](#)

Popular Sites [EMPLOYMENT](#) | [ND A TO Z](#) | [SEARCH](#) | [FEEDBACK](#) Search ND.edu

 UNIVERSITY OF NOTRE DAME
Copyright ©2005 University of Notre Dame
Notre Dame, Indiana 46556 Phone: 574-631-5000

Robot: Añade a su base de datos todos los URLs encontrados en un documento, y los sigue recursivamente.

Dominio: *nd.edu* con 325,729 documentos y 1,469,680 links.



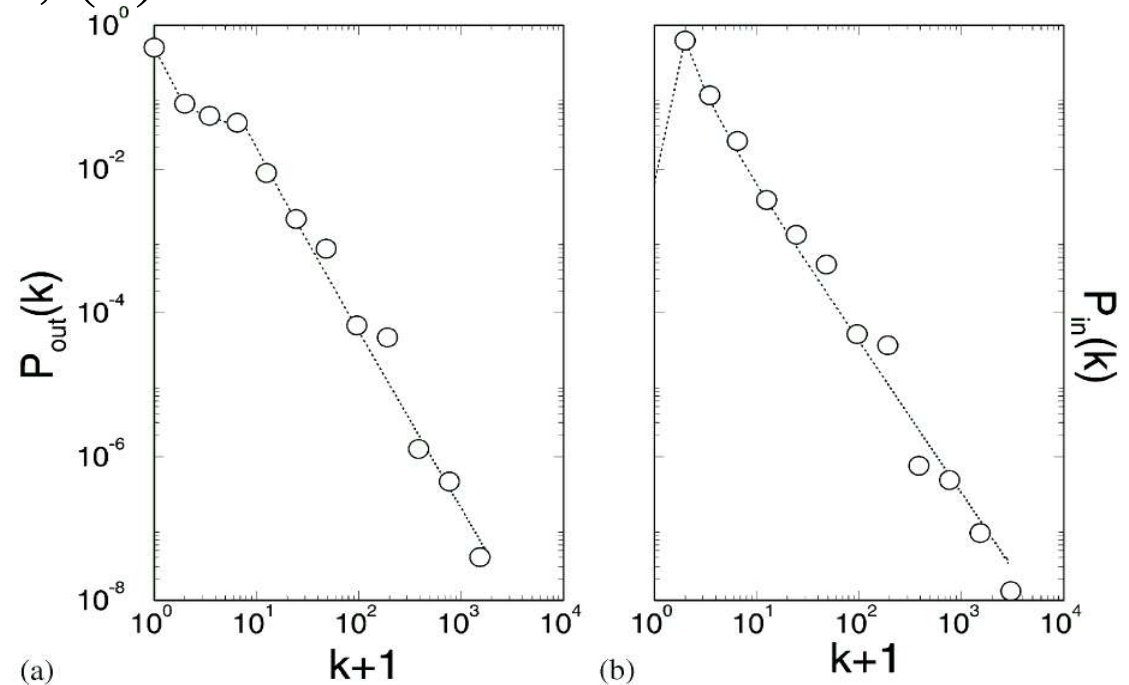
WWW(cont)

- Determinaron que

- $P_{out}(k) \sim k^{-\gamma_{out}}$ con $\gamma_{out}=2.5$ y

- $P_{in}(k) \sim k^{-\gamma_{in}}$ con $\gamma_{in}=2.1$

- Figura (a) links de salida, (b) links de entrada.



Diecinueve Grados de Separación

Crearon una grafica con N nodos, siguiendo

$$P_{out}(k) \sim k^{-2.5} \quad P_{in}(k) \sim k^{-2.1}$$

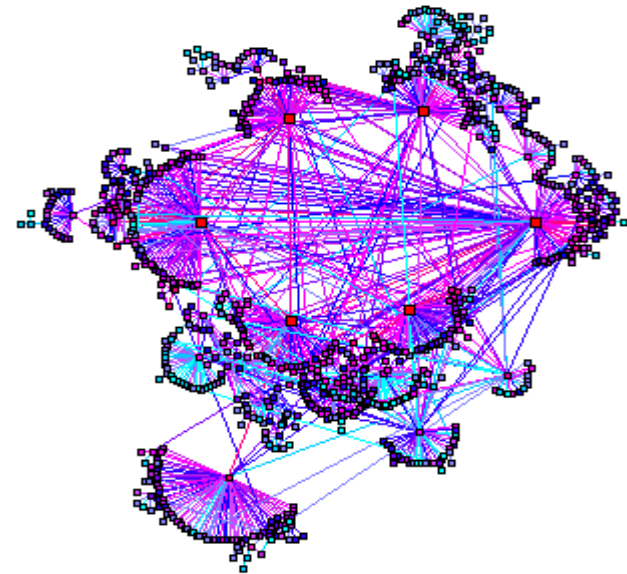
Se encontró $\langle l \rangle = 0.35 + 2.06 \log(N)$

Donde $\langle l \rangle$ es el camino mas corto entre dos documentos.

Usando $N = 8 \times 10^8$, se tiene que

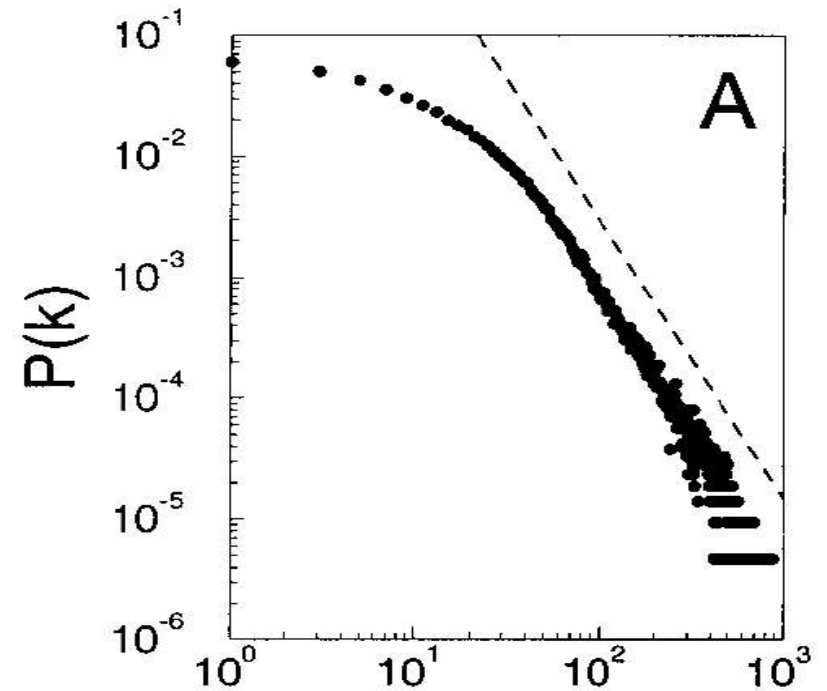
$$\langle l_{www} \rangle = 18.59$$

Al aumentar N en 1000%, $\langle l \rangle$
cambia de 19 a 21



¿Buscadores?

¿Cuál es el mecanismo que lleva a este tipo de comportamiento?



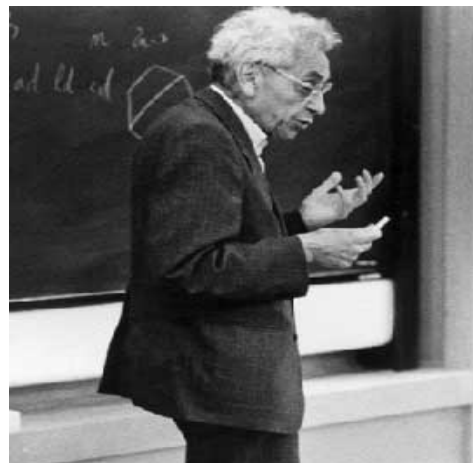
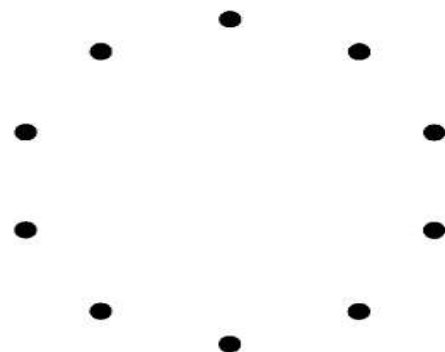
¿Qué sigue?

- 1) Revisar dos modelos anteriores.
- 2) Presentar modelo de escala libre y dos casos limitados.
- 3) Presentar una red de escala libre determinista.
- 4) Conclusiones.

Modelo Erdős-Rényi (ER)

- “*On Random Graphs*”, 1959

$p_{ER}=0$



Paul Erdős

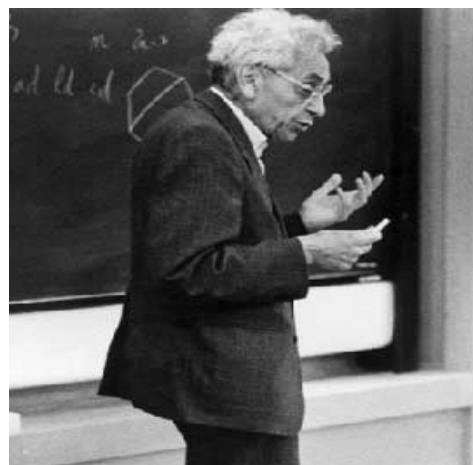


Alfréd Rényi

- N fijo

Modelo Erdős-Rényi (ER)

- “*On Random Graphs*”, 1959

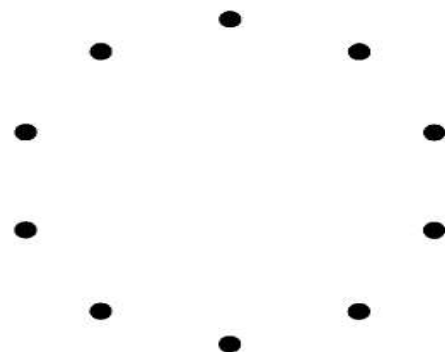


Paul Erdős

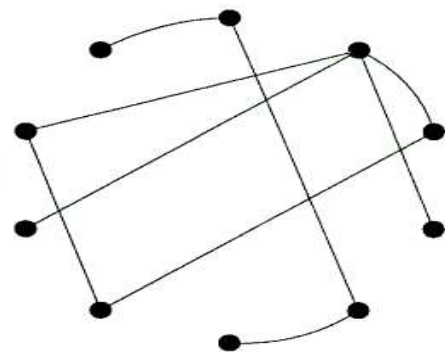


Alfréd Rényi

$p_{ER}=0$



$p_{ER}=0.2$



(a)

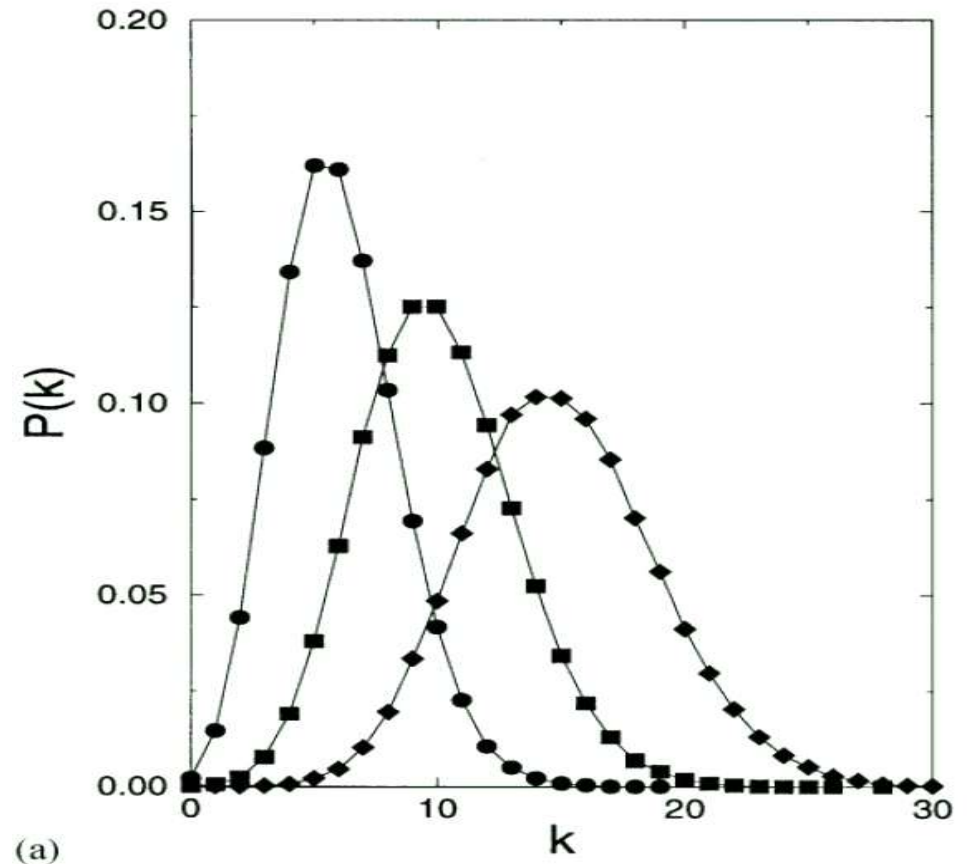


- N fijo
- Conectar con probabilidad p_{ER}

Modelo Erdős-Rényi (cont)

- $P(k)$ sigue una distribución de Poisson.

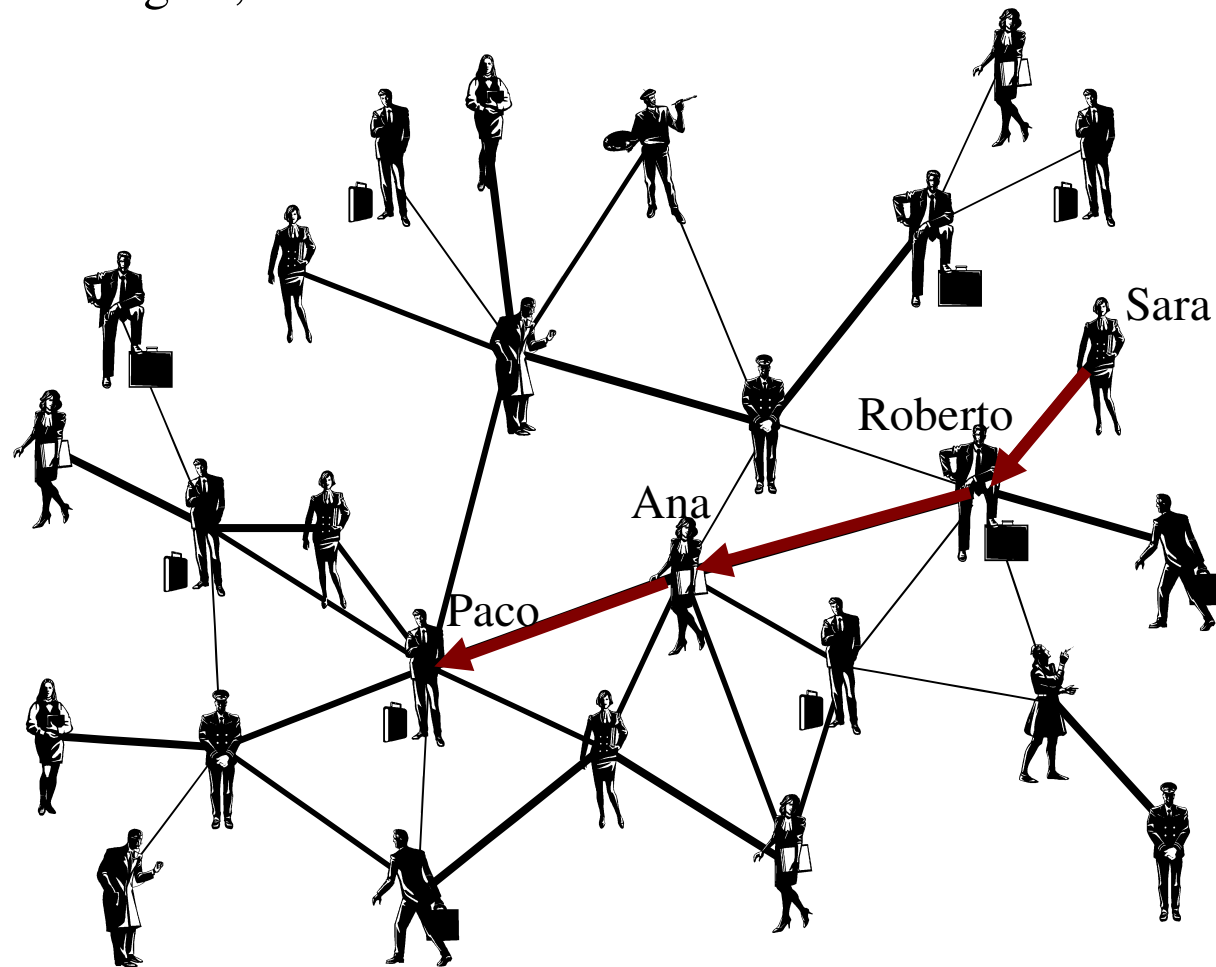
$$P(k) \sim e^{-\lambda} \lambda^k / k!$$



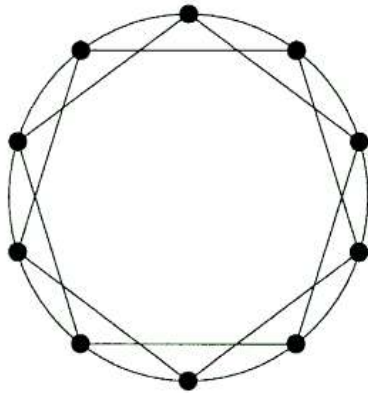
$N=10,000$. ● $p_{ER}=0.0006$, ■ $p_{ER}=0.001$, ◆
 $p_{ER}=0.0015$.

Modelo “Small-World” (WS)

- D.J. Watts y S. H. Strogatz,
1998



Modelo “Small-World” (cont)

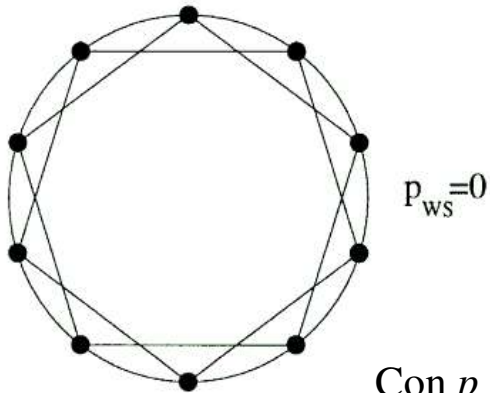


$p_{ws}=0$

Con $p_{ws}=0$, tiene $2N=20$ aristas.

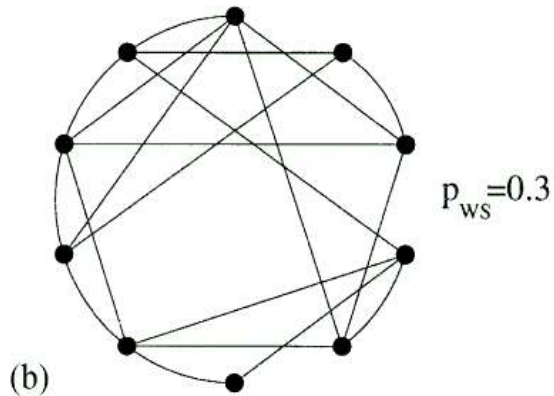
- N vértices forman una malla unidimensional, donde cada vertice es conectado a su vecino mas cercano y siguiente mas cercano.

Modelo “Small-World” (cont)



Con $p_{ws}=0$, tiene $2N=20$ aristas.

- N vértices forman una malla unidimensional, donde cada vertice es conectado a su vecino mas cercano y siguiente mas cercano.



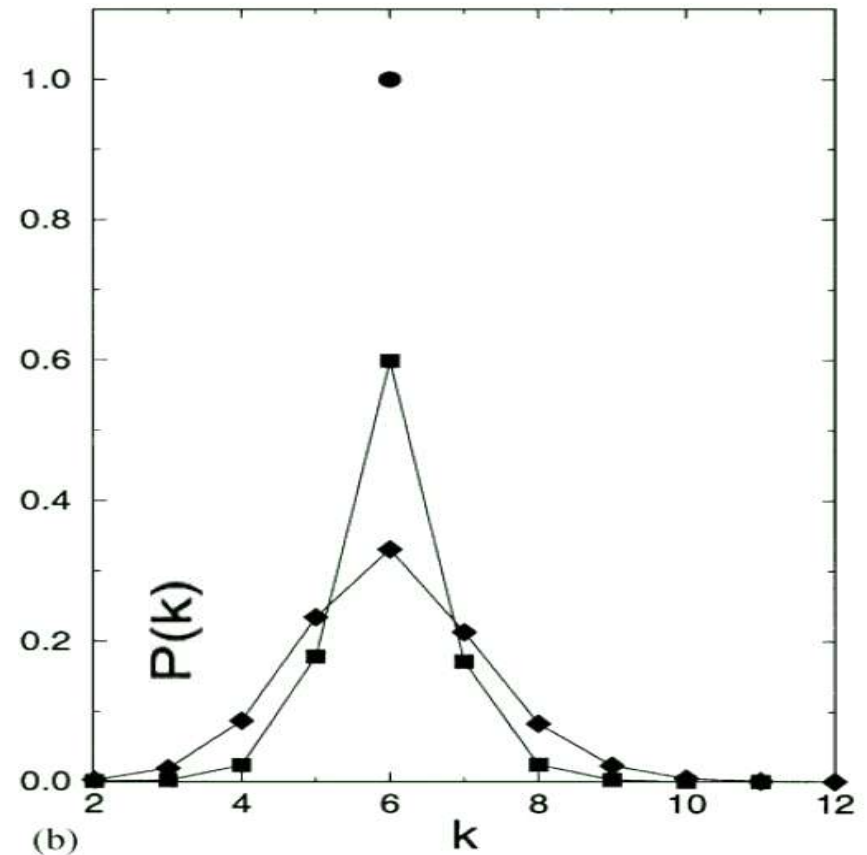
Con $p_{ws}=0.3$, $2p_{ws}N=6$ aristas reconectadas.

- Con probabilidad p_{ws} cada arista es reconectada con otro vertice aleatoriamente.

Modelo “Small-World” (cont)

- Con $p_{WS}=0$, $P(k)$ sigue una distribución tipo Delta.

$$P(k) \sim \delta(k - \langle k \rangle)$$



$N=10,000, \langle k \rangle=6$. ● $p_{WS}=0$, ■ $p_{WS}=0.1$, ◆ $p_{WS}=0.3$.

Resumen de Modelos

Modelos ER y WS.

Redes Reales.

Probabilidad de encontrar vértice con
muchas conexiones.

Decrece exponencialmente
con k .

Grande

Modelo de Escala Libre (Barabási y Albert)

Modelos ER y WS.

Redes Reales.

Asumen N fija

N crece con tiempo vida

Probabilidad dos vértices se conecten es: aleatoria y uniforme.

Conexión preferencial.

Modelo basado en crecimiento y conexión lleva a la distribución de escala libre observada.

Crecimiento

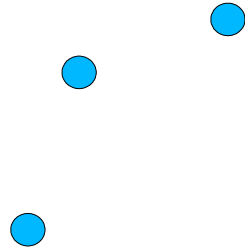
- Se agregan vértices a la red de la siguiente manera:
 - Se empieza con un número pequeño de vértices m_0 .
 - Cada tiempo t se agrega un nuevo vértice con $m(\leq m_0)$ aristas, que ligan el nuevo vértice con m vértices en la red.

Conexión Preferencial

- Los vértices son conectados de acuerdo a lo siguiente:
 - La probabilidad Π de que un nuevo vertice se conecte con un vertice v_i , depende de la conectividad k_i de v_i .
 - $\Pi(k_i) = k_i / \sum_j k_j$.

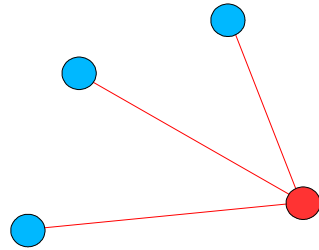
Ejemplo

- Sea $m_0=3$ y $m=3$



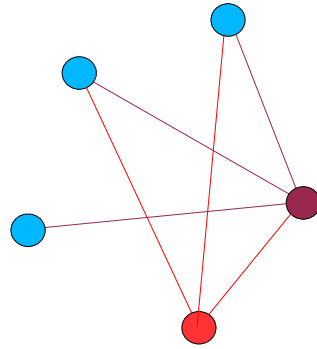
Ejemplo

- Sea $m_0=3$ y $m=3$



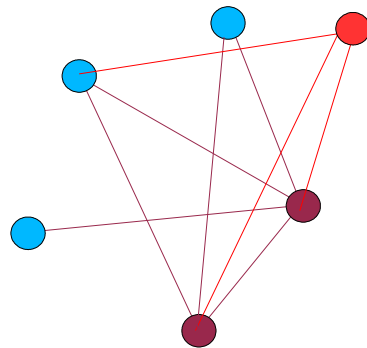
Ejemplo

- Sea $m_0=3$ y $m=3$



Ejemplo

- Sea $m_0=3$ y $m=3$



Resultados

- Después de t pasos, el modelo llega a una red aleatoria con $N=t+m_0$ vértices y mt aristas.

- Figura, $N=300,000$,

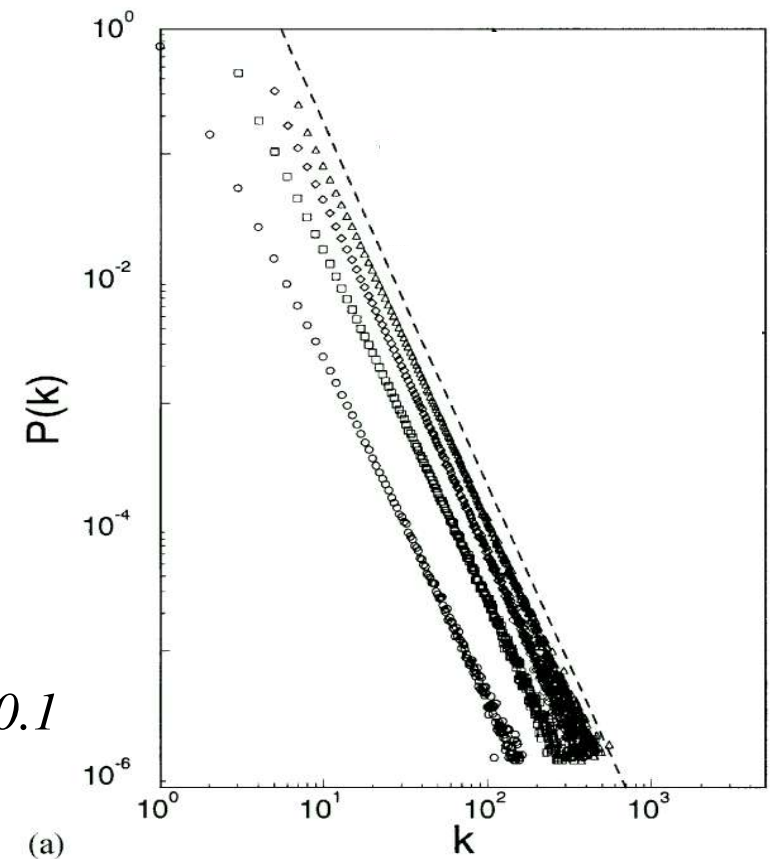
● $m_0=m=1$,

■ $m_0=m=3$,

◆ $m_0=m=5$,

▲ $m_0=m=7$.

- La pendiente de la línea punteada es $\gamma_{\text{model}}=2.9\pm 0.1$



Resultados (cont)

- La ley de potencia observada para las redes reales describe sistemas de gran variedad de tamaños y en diferentes estados de su crecimiento.
- Un modelo correcto debería ser independiente del tiempo.

Resultados (cont)

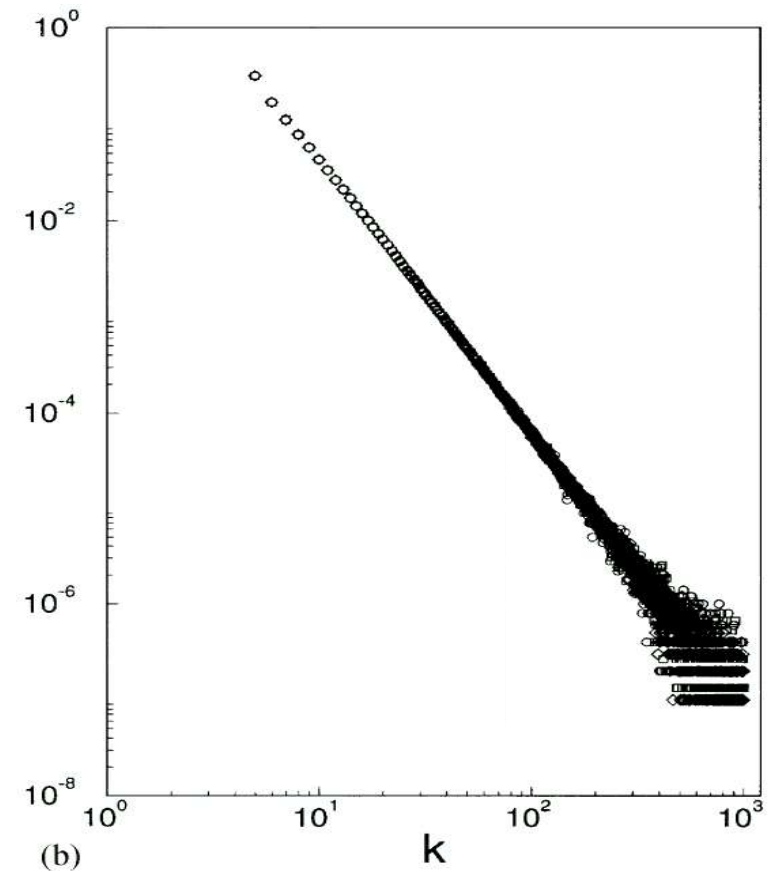
- $P(k)$ es independiente del tiempo, en consecuencia, independiente de $N=t+m_0$.

- Figura, $m_0=m=5$

● $N=100,000$,

■ $N=150,000$,

◆ $N=200,000$.



Dos ingredientes(**Modelo BA**):

1. Crecimiento.
2. Conexión preferencial.

Modelo A:

1. Crecimiento.
2. ~~Conexión preferencial.~~

Modelo B:

1. ~~Crecimiento.~~
2. Conexión preferencial.



Modelo A

- El crecimiento se hace como en el modelo BA.
- La conexión preferencial se elimina, asumiendo que un nuevo vertice se conecta, con igual probabilidad, a cualquier vertice del sistema.
 - $\Pi(k) = \text{const} = 1/(m_0 + t - 1)$

Modelo A (cont)

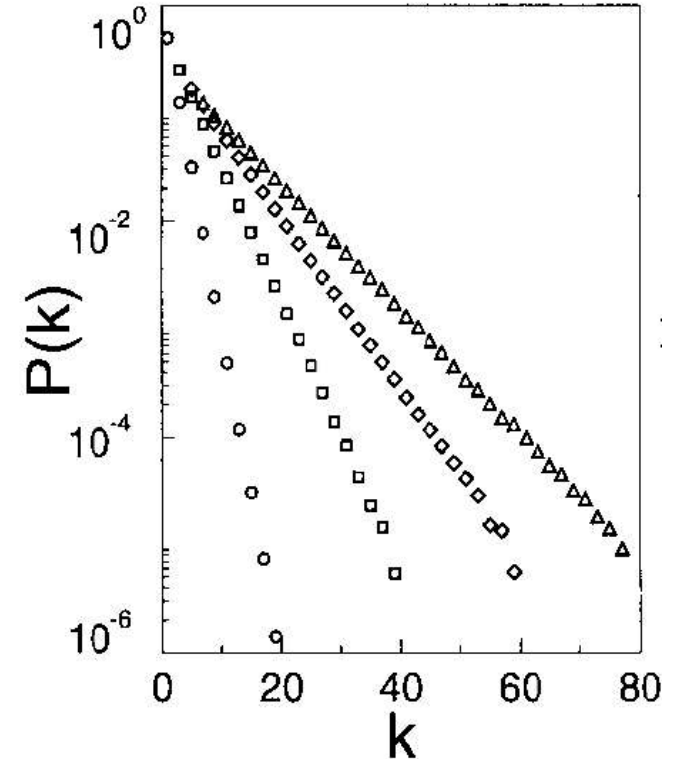
- Presenta $P(k) \sim \exp(-(1/m)k)$
- i.e. se elimina la propiedad de escala libre.
- Figura, $N=800,000$

● $m_0=m=1,$

■ $m_0=m=3,$

◆ $m_0=m=5,$

▲ $m_0=m=7$



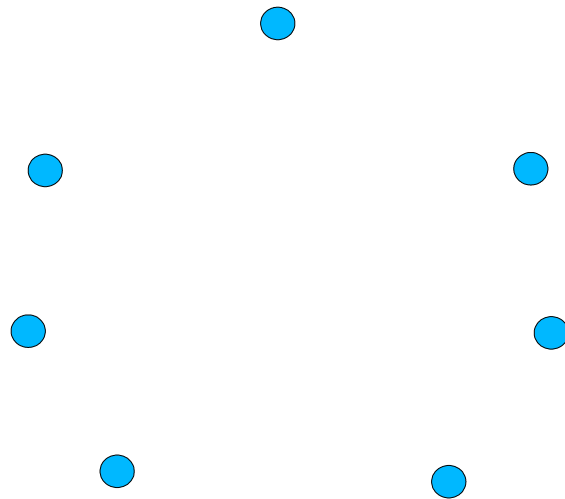
Modelo B

- Prueba la hipótesis de que el crecimiento es esencial para que se presente la característica de escala libre observada.
- Se empieza con N vértices y ninguna arista.
- En cada paso, se selecciona un vertice de manera aleatoria y se conecta con probabilidad $\Pi(k_i) = k_i / \sum_j k_j$ a un vertice i en el sistema.

Modelo B (cont)

- Ejemplo. $N=7$.

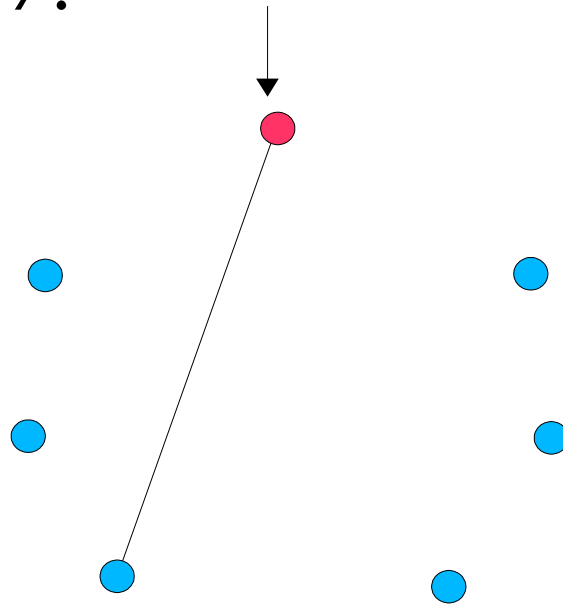
$t=0$



Modelo B (cont)

- Ejemplo. $N=7$.

$t=1$

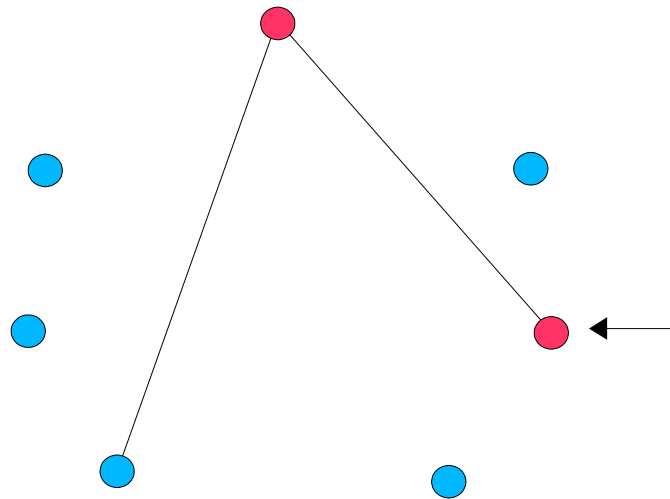


$$\Pi(k_i) = k_i / \sum_j k_j$$

Modelo B (cont)

- Ejemplo. $N=7$.

$t=2$

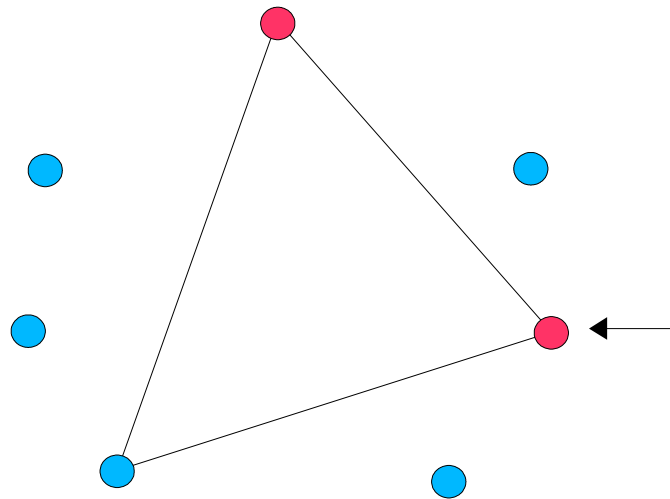


$$\Pi(k_i) = k_i / \sum_j k_j$$

Modelo B (cont)

- Ejemplo. $N=7$.

$t=3$

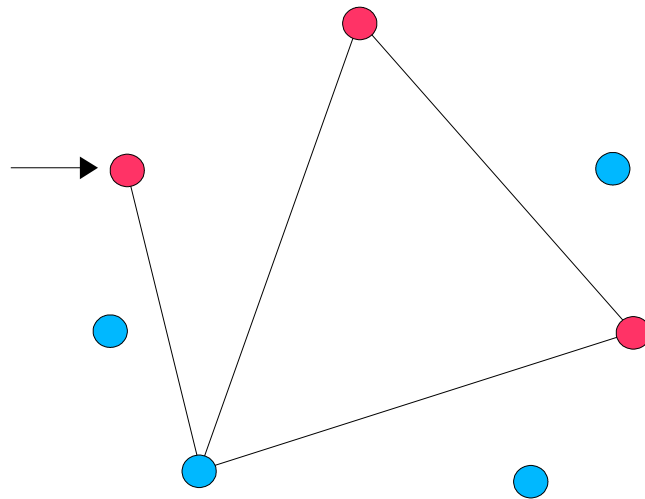


$$\Pi(k_i) = k_i / \sum_j k_j$$

Modelo B (cont)

- Ejemplo. $N=7$.

$t=4$

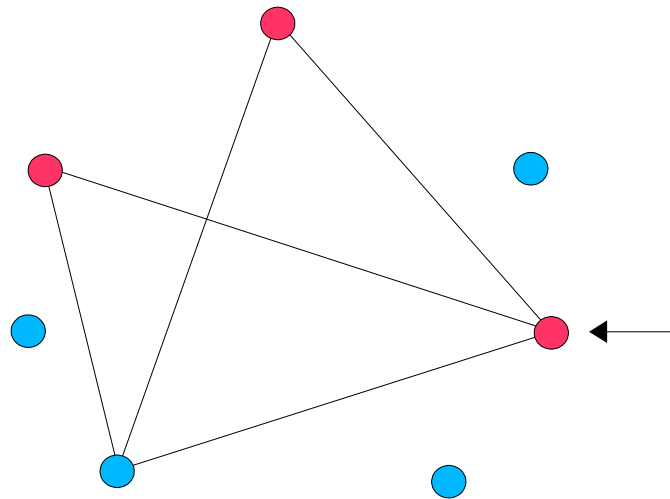


$$\Pi(k_i) = k_i / \sum_j k_j$$

Modelo B (cont)

- Ejemplo. $N=7$.

$t=5$

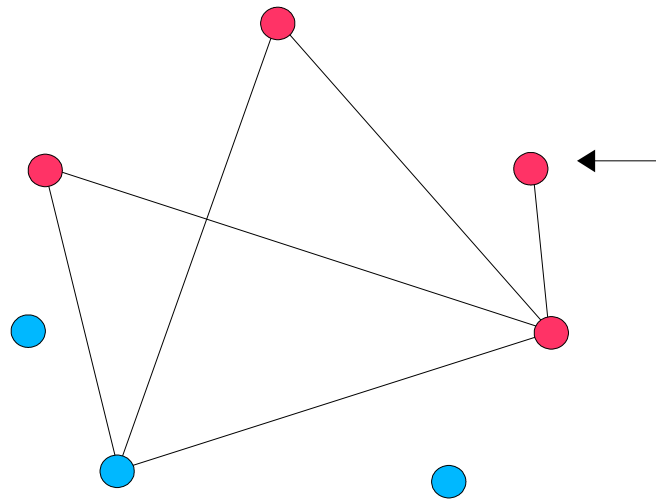


$$\Pi(k_i) = k_i / \sum_j k_j$$

Modelo B (cont)

- Ejemplo. $N=7$.

$t=6$

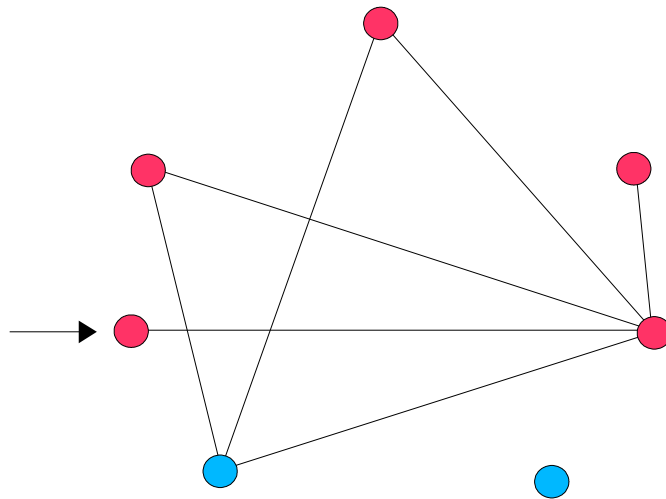


$$\Pi(k_i) = k_i / \sum_j k_j$$

Modelo B (cont)

- Ejemplo. $N=7$.

$t=7$

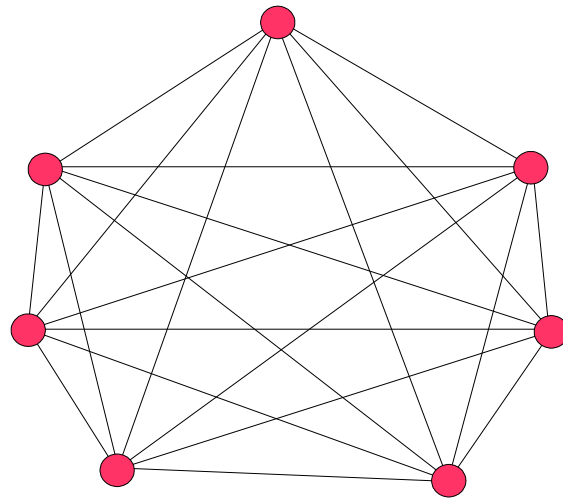


$$\Pi(k_i) = k_i / \sum_j k_j$$

Modelo B (cont)

- Ejemplo. $N=7$.

$$t \approx N^2$$

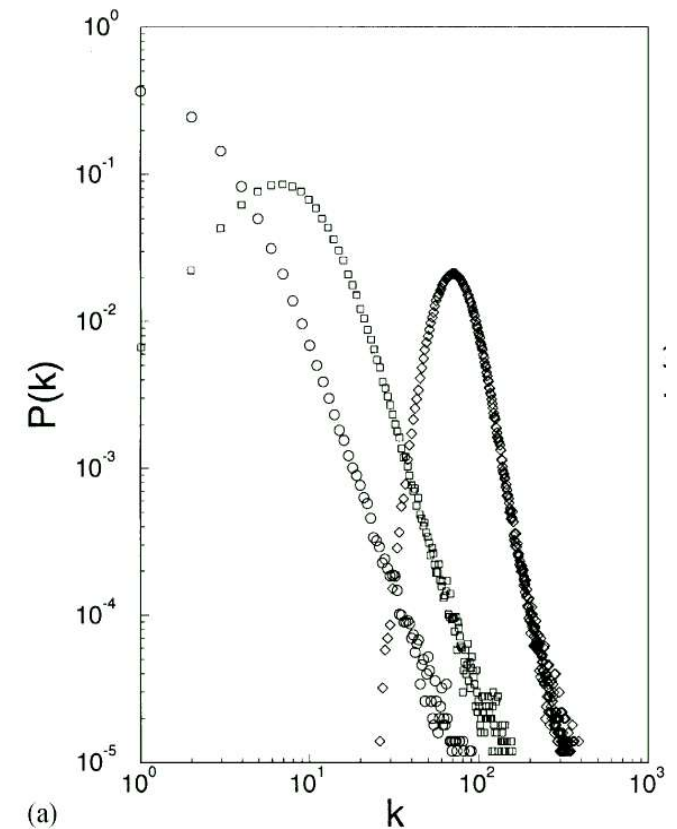


$$P(k_i) = k_i / \sum_j k_j$$

Modelo B (cont)

- $P(k)$ se comporta como una Gaussiana.
- Figura, $N=10,000$

- $t=N$,
- $t=5N$,
- ◆ $t=40N$.



Resultado

- Ambos, crecimiento y conexión preferencial, son necesarios para el desarrollo de la distribución de ley de potencia (estacionaria) observada en los experimentos.

Dos ingredientes(**Modelo BA**):

1. **Crecimiento.**
2. **Conexión preferencial.**



¿Qué sigue?

- 1) Revisar dos modelos anteriores.
- 2) Presentar modelo de escala libre y dos casos limitados.
- 3) Presentar una red de escala libre determinista.
- 4) Conclusiones.